

Information Quantique

Corrigé de l' examen du 21 Mai 2012

Notation : la note finale est $\min(20, \text{note-ex1} + \text{note-ex2})$.

Exercice 1 (/20 pts)

Circuits quantiques.

1- On cherche une matrice unitaire R telle que $R^2 = \hat{N}\hat{O}\hat{T}$,
Une méthode possible consiste à réduire $\hat{N}\hat{O}\hat{T}$ à une forme diagonale PDP^{-1}
(P est la matrice de passage et D est une matrice diagonale) puis à choisir
 $R := PD'P^{-1}$ où D' est une racine carrée de D (il y a 4 choix possibles pour
 D' car chaque valeur propre possède 2 racines carrées dans \mathbb{C}). Dans le cas
de $\hat{N}\hat{O}\hat{T}$:

les valeurs propres sont $1, -1$ (car, vue comme une application linéaire sur
 \mathbb{R}^2 , il s'agit de la symétrie par rapport à la première bissectrice) associées
aux vecteurs propres (de norme 1 et orthogonaux) :

$$\frac{1}{\sqrt{2}} \begin{pmatrix} 1 \\ 1 \end{pmatrix}, \frac{1}{\sqrt{2}} \begin{pmatrix} 1 \\ -1 \end{pmatrix}.$$

Donc

$$P = \frac{1}{\sqrt{2}} \begin{pmatrix} 1 & 1 \\ 1 & -1 \end{pmatrix}, \quad P^{-1} = P, \quad D = \begin{pmatrix} 1 & 0 \\ 0 & -1 \end{pmatrix},$$

On peut choisir, par exemple

$$R := P \begin{pmatrix} 1 & 0 \\ 0 & i \end{pmatrix} P^{-1} = \frac{1}{2} \begin{pmatrix} 1+i & 1-i \\ 1-i & 1+i \end{pmatrix}$$

2-

$$\hat{T}\hat{O}\hat{F} |x_1, x_2, x_3\rangle = |x_1, x_2, x_3 \oplus x_1x_2\rangle$$

Donc

$$\begin{aligned} \hat{T}\hat{O}\hat{F} |x_1, x_2, x_3\rangle &= |x_1, x_2, x_3\rangle && \text{si } x_1x_2 = 0 \\ &= |x_1, x_2\rangle \otimes \hat{N}\hat{O}\hat{T} |x_3\rangle && \text{si } x_1x_2 = 1 \end{aligned}$$

ce qui est la définition de $\Lambda^2(\hat{\text{NOT}})$.

3- Le circuit T est un produit de 5 portes. Considérons la valeur du vecteur d'état après chaque porte (on commence par la valeur d'entrée puis on écrit les 5 valeurs successives obtenues) :

$$\begin{array}{cccccc}
 \begin{pmatrix} 0 \\ 0 \\ z \end{pmatrix} & & \begin{pmatrix} 0 \\ 0 \\ z \end{pmatrix} & \begin{pmatrix} 0 \\ 0 \\ z \end{pmatrix} & \begin{pmatrix} 0 \\ 0 \\ z \end{pmatrix} & \begin{pmatrix} 0 \\ 0 \\ z \end{pmatrix} \\
 \begin{pmatrix} 1 \\ 0 \\ z \end{pmatrix} & \begin{pmatrix} 1 \\ 0 \\ z \end{pmatrix} & \begin{pmatrix} 1 \\ 1 \\ z \end{pmatrix} & \begin{pmatrix} 1 \\ 1 \\ Rz \end{pmatrix} & \begin{pmatrix} 1 \\ 0 \\ R^{-1}z \end{pmatrix} & \begin{pmatrix} 1 \\ 0 \\ z \end{pmatrix} \\
 \begin{pmatrix} 1 \\ 0 \\ z \end{pmatrix} & \begin{pmatrix} 1 \\ 0 \\ Rz \end{pmatrix} & \begin{pmatrix} 0 \\ 1 \\ Rz \end{pmatrix} & \begin{pmatrix} 0 \\ 1 \\ z \end{pmatrix} & \begin{pmatrix} 0 \\ 1 \\ z \end{pmatrix} & \begin{pmatrix} 0 \\ 1 \\ z \end{pmatrix} \\
 \begin{pmatrix} 1 \\ 1 \\ z \end{pmatrix} & \begin{pmatrix} 1 \\ 1 \\ Rz \end{pmatrix} & \begin{pmatrix} 1 \\ 0 \\ Rz \end{pmatrix} & \begin{pmatrix} 1 \\ 0 \\ Rz \end{pmatrix} & \begin{pmatrix} 1 \\ 1 \\ Rz \end{pmatrix} & \begin{pmatrix} 1 \\ 1 \\ R^2z \end{pmatrix}
 \end{array}$$

On voit donc que ce circuit a l'effet suivant les vecteurs de la base canonique :

$$\begin{pmatrix} x_1 \\ x_2 \\ z \end{pmatrix} \mapsto \begin{pmatrix} x_1 \\ x_2 \\ z \end{pmatrix}$$

si $x_1x_2 = 0$,

$$\begin{pmatrix} x_1 \\ x_2 \\ z \end{pmatrix} \mapsto \begin{pmatrix} x_1 \\ x_2 \\ R^2z \end{pmatrix}$$

si $x_1x_2 = 1$, Il coïncide donc avec $\Lambda^2(\hat{\text{NOT}})$ sur la base canonique, et par linéarité, il coïncide avec $\Lambda^2(\hat{\text{NOT}})$ sur tout l'espace des états : il calcule l'opérateur de Toffoli.

4- Soit $U : \mathcal{B} \rightarrow \mathcal{B}$ une application linéaire unitaire. Alors U est diagonalisable (dans une base orthonormée) :

$$U = PDP^{-1}$$

avec P matrice unitaire. On peut donc appliquer le raisonnement de la question 1 : soit D' une matrice diagonale telle que $D'^2 = D$. Comme les éléments

de la diagonale de D' sont de module 1, la matrice D' est unitaire, et comme P, P^{-1} sont unitaires, la matrice

$$V := PD'P^{-1}$$

est une racine carrée unitaire de U .

5- On peut construire un circuit C_U sur le modèle du circuit T , mais en remplaçant la porte R par la porte V : voir la figure 1.

6- Désignons par \mathcal{G}_0 l'ensemble des portes élémentaires $\{\text{cNOT}\} \cup \{\Lambda^1(W), W \in$

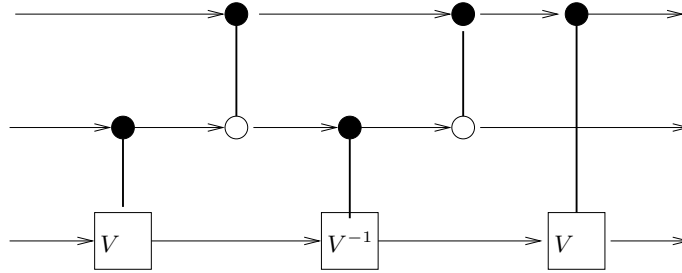


FIGURE 1 – Le circuit C_U

$\mathbb{U}(2)\}$.

Afin de résoudre cette question par récurrence sur k , étendons la définition de $\Lambda^k(U)$ au cas où U est un opérateur unitaire sur \mathcal{B}^ℓ (où ℓ est un entier strictement positif) : pour tous $x_1, \dots, x_k \in \mathcal{B}, y \in \mathcal{B}^{\otimes \ell}$:

$$\begin{aligned} \Lambda^k(U) |x_1, \dots, x_k, y\rangle &= |x_1, \dots, x_k\rangle \otimes |y\rangle & \text{si } x_1 x_2 \cdots x_k = 0 \\ &= |x_1, \dots, x_k\rangle \otimes U |y\rangle & \text{si } x_1 x_2 \cdots x_k = 1 \end{aligned}$$

Montrons maintenant, par récurrence sur k , la propriété :

$$\forall U \in \mathbb{U}, \Lambda^k(U) \text{ est calculable par un circuit } C_k, \text{ de taille } \leq 5^{k-1} \text{ sur } \mathcal{G}_0.$$

Si $k = 1$, $\Lambda^1(U)$ est une porte de \mathcal{G}_0 .

Si $k = 2$, $\Lambda^2(U)$ est calculable par le circuit C_U fourni à la question 5, qui n'utilise que des portes de \mathcal{G}_0 et qui est de longueur 5.

Soit $k \geq 3$. La matrice U admet une racine carrée unitaire V (question 4) et $V' := \Lambda^{k-2}(V)$ est une racine carrée de $U' := \Lambda^{k-2}(U)$.

On peut appliquer la construction de la question 5, à l'opérateur $\Lambda^2(U')$: le circuit T , dans lequel on remplace R par V' , calcule $\Lambda^k(U)$ (notons-le $T[V'/R]$). Par hypothèse de récurrence, $\Lambda^1(V') = \Lambda^{k-1}(V)$ est calculable

par un circuit C_{k-1} de longueur $\leq 5^{k-2}$ sur \mathcal{G}_0 . En remplaçant, dans le circuit $T[V'/R]$, chaque porte $\Lambda^1(V')$ par le circuit C_{k-1} , on obtient un circuit C_k , de longueur $\leq 5^{k-1}$ sur \mathcal{G}_0 , qui calcule $\Lambda^k(U)$.

Une analyse plus fine de la longueur de C_k donne :

$$|C_1| = 1, \quad |C_{k+1}| = 3|C_k| + 2$$

d'où $|C_k| = 2 \cdot 3^{k-1} - 1$.

Exercice 2(/29 pts)
Algorithme de Grover

1- Notons

$$|y_-\rangle := \frac{|0\rangle - |1\rangle}{\sqrt{2}}, \quad |y_+\rangle := \frac{|0\rangle + |1\rangle}{\sqrt{2}}.$$

On vérifie que

$$\langle y_s | y_t \rangle = \delta_{s,t} \text{ pour } s, t \in \{+, -\},$$

et on sait que

$$\langle x | x' \rangle = \delta_{x,x'} \text{ pour } x, x' \in \{0, 1\}.$$

Considérons la famille des 2^{n+1} vecteurs :

$$(|x\rangle |y_s\rangle)_{x \in \mathbb{B}^n, s \in \{+, -\}} \tag{1}$$

Le produit scalaire de deux d'entre eux vérifie :

$$\langle y_s | \langle x | x' \rangle | y_t \rangle = \langle x | x' \rangle \langle y_s | y_t \rangle = \delta_{x,x'} \delta_{s,t}$$

Donc cette famille est orthonormée.

$$\begin{aligned} \langle \alpha | \alpha \rangle &= \left(\frac{1}{\sqrt{N-M}} \right)^2 \sum_{f(x)=0} \langle y_- | \langle x | x \rangle | y_- \rangle \\ &= \left(\frac{1}{N-M} \right) \sum_{f(x)=0} 1 \\ &= \left(\frac{1}{N-M} \right) (N-M) \\ &= 1. \end{aligned}$$

Un calcul similaire montre que $\langle \beta | \beta \rangle = 1$.

Les ensembles de vecteurs $\{|x\rangle \frac{|0\rangle - |1\rangle}{\sqrt{2}} \mid f(x) = 0\}$ et $\{|x\rangle \frac{|0\rangle + |1\rangle}{\sqrt{2}} \mid f(x) = 1\}$

sont des parties disjointes de la famille orthogonale (1). Donc les sous-espaces engendrés par ces ensembles sont orthogonaux. Comme $|\alpha\rangle$ appartient au premier sous-espace et $|\beta\rangle$ au second, $\langle\alpha|\beta\rangle = 0$.

2- Les coefficients

$$c_\alpha := \sqrt{\frac{N-M}{N}}, c_\beta := \sqrt{\frac{M}{N}}$$

satisfont

$$|\psi\rangle = c_\alpha |\alpha\rangle + c_\beta |\beta\rangle$$

3-

$$\cos(\theta') = \frac{c_\alpha}{c_\alpha^2 + c_\beta^2} = \sqrt{\frac{N-M}{N}}, \quad \sin(\theta') = \frac{c_\beta}{c_\alpha^2 + c_\beta^2} = \sqrt{\frac{M}{N}}.$$

Comme $\cos(\theta') \geq 0$, $\theta' := \text{Arcsin}\sqrt{\frac{M}{N}}$ est une mesure de l'angle $(|\alpha\rangle, |\psi\rangle)$.

4- On vérifie que, pour tout $x \in \mathbb{B}^n$,

$$O|x\rangle|y_-\rangle = (-1)^{f(x)}|x\rangle|y_-\rangle$$

Il découle que :

$$O|\alpha\rangle = |\alpha\rangle, \quad O|\beta\rangle = -|\beta\rangle,$$

et par linéarité :

$$O|\psi\rangle = c_\alpha |\alpha\rangle - c_\beta |\beta\rangle.$$

5- La famille des 2^{n+1} vecteurs :

$$(|x\rangle|b\rangle)_{x \in \mathbb{B}^n, b \in \{0,1\}} \quad (2)$$

est aussi une famille orthonormée de $\mathcal{B}^{\otimes(n+1)}$. Comme elle est de cardinal 2^{n+1} qui est la dimension de $\mathcal{B}^{\otimes(n+1)}$. c'est une *base* orthonormée. La définition de S_0 montre que :

- sur le sous-espace P_0 engendré par $|0^n\rangle|0\rangle, |0^n\rangle|1\rangle$, S_0 vaut l'identité,
- sur le sous-espace Q_0 engendré par $|x\rangle|0\rangle, |x\rangle|1\rangle$ (pour $x \in \mathbb{B}^n \setminus \{0^n\}$), S_0 vaut l'opposée de l'identité.

Comme (2) est une base orthonormée, en fait $Q_0 = P_0^\perp$.

Donc S_0 coïncide bien avec la symétrie orthogonale par rapport à P_0 .

6- Si S est une symétrie par rapport au sous-espace I et parallèlement au sous-espace D alors, pour tout isomorphisme $F : \mathcal{B}^{\otimes(n+1)} \rightarrow \mathcal{B}^{\otimes(n+1)}$ l'application $F \circ S \circ F^{-1}$ est la symétrie par rapport au sous-espace FI et parallèlement au sous-espace FD . En prenant $S = S_0$ et $F = H^{\otimes n} \otimes \text{Id}$ on obtient donc que : S_Ψ est la symétrie par rapport au sous-espace $H^{\otimes n} \otimes \text{Id}P_0$ et parallèlement au sous-espace $H^{\otimes n} \otimes \text{Id}(P_0)^\perp$.

La transformation $H^{\otimes n} \otimes \text{Id}$ envoie $|0\rangle$ sur ψ et $|1\rangle$ sur ψ' . L'espace des vecteurs invariants de S_Ψ est donc le plan (complexe) engendré par les vecteurs $|\psi\rangle, |\psi'\rangle$.

Comme la transformation $H^{\otimes n} \otimes \text{Id}$ est unitaire, la direction de la symétrie est aussi $(H^{\otimes n} \otimes \text{Id}P_0)^\perp$, i.e. S_ψ est la symétrie *orthogonale* par rapport au plan (complexe) engendré par les vecteurs $|\psi\rangle, |\psi'\rangle$.

7- On a vu à la question 4 que

$$O|\alpha\rangle = |\alpha\rangle, \quad O|\beta\rangle = -|\beta\rangle, \quad (3)$$

Donc O laisse le plan P globalement invariant.

$$S_\psi |\psi\rangle = |\psi\rangle$$

Soit $|\psi''\rangle := \cos(\theta' + \pi/2)|\alpha\rangle + \sin(\theta' + \pi/2)|\beta\rangle$. Comme l'angle $(|\psi\rangle, |\psi''\rangle)$ a pour mesure $\pi/2$, $|\psi''\rangle \perp |\psi\rangle$. Par ailleurs $|\psi''\rangle \perp |\psi'\rangle$, car $|\psi''\rangle$ appartient au sous-espace vectoriel (complexe) engendré par $\{|x\rangle|y_-\rangle \mid x \in \mathbb{B}^n\}$ alors que $|\psi'\rangle$ appartient au sous-espace vectoriel (complexe) engendré par $\{|x\rangle|y_+\rangle \mid x \in \mathbb{B}^n\}$. On en conclut que $|\psi''\rangle \in P_0^\perp$, ce qui entraîne que

$$S_\psi |\psi\rangle = -|\psi\rangle, \quad S_\psi |\psi''\rangle = -|\psi''\rangle. \quad (4)$$

Comme $|\psi\rangle, |\psi''\rangle$ est une base de P (sur \mathbb{R}), S_ψ laisse le plan P globalement invariant.

8- Les équations (3) montrent que \tilde{O} est une symétrie orthogonale par rapport à $|\alpha\rangle$. Les équations (4) montrent que \tilde{S}_ψ est une symétrie orthogonale par rapport à $|\psi\rangle$. Donc $\tilde{S}_\psi \tilde{O}$ est la rotation de P d'angle double de l'angle entre les axes des symétries i.e. $\theta = 2\theta'$.

9.1- Notons par $(|u\rangle, \hat{v})$ l'angle orienté entre 2 vecteurs et $\mu((|u\rangle, \hat{v})) \in$

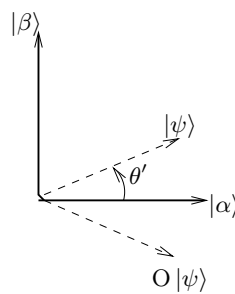


FIGURE 2 – Le plan P

$\mathbb{R}/2\pi\mathbb{Z}$ sa mesure.

$$\begin{aligned}\gamma &= \mu(|\eta\rangle, \hat{|\beta\rangle}) \\ &= \mu(|\alpha\rangle, \hat{|\beta\rangle}) - (|\alpha\rangle, \hat{|\eta\rangle}) \\ &= \frac{\pi}{2} - (2k+1)\theta'.\end{aligned}$$

Or on a choisi k tel que

$$(2k+1)\theta' \leq \frac{\pi}{2} < (2k+3)\theta'$$

Donc

$$\frac{\pi}{2} - (2k+1)\theta' < 2\theta'$$

donc

$$\gamma < 2\theta'.$$

9.2 La sesqui-linéarité du produit scalaire justifie le calcul suivant :

$$\begin{aligned}\| |\eta\rangle - |\beta\rangle \|^2 &= \| |\eta\rangle \|^2 + \| |\beta\rangle \|^2 - 2\langle \beta | \eta \rangle \\ &= 1 + 1 - 2\cos(\gamma) \\ &= 2(1 - \cos(\gamma)) \\ &= 4\sin^2(\gamma/2).\end{aligned}$$

9.3 En utilisant Q9.2 puis Q3 puis l'hypothèse de l'étape 3, cas 1 :

$$\| |\eta\rangle - |\beta\rangle \|^2 = 4\sin^2(\gamma/2) \leq 4\sin^2(\theta') = 4\frac{M}{N} \leq 4s.$$

10- Notons λ_x (resp. μ_x) la valeur propre de vecteur propre $|x\rangle \frac{|0\rangle - |1\rangle}{\sqrt{2}}$ (resp. $|x\rangle \frac{|0\rangle + |1\rangle}{\sqrt{2}}$).

10.1 Décomposons le vecteur $|\eta\rangle$ sur les sous-espaces propres de \mathcal{M} :

$$|\eta\rangle = \sum_{f(x)=0} \rho_x \cdot |x\rangle \frac{|0\rangle - |1\rangle}{\sqrt{2}} + \sum_{f(x)=1} \rho_x \cdot |x\rangle \frac{|0\rangle - |1\rangle}{\sqrt{2}} + \sum_{x \in \mathbb{B}^n} 0 \cdot |x\rangle \frac{|0\rangle + |1\rangle}{\sqrt{2}},$$

avec

$$\sum_{f(x)=0} \rho_x \cdot |x\rangle \frac{|0\rangle - |1\rangle}{\sqrt{2}} = \cos(\pi/2 - \gamma) |\alpha\rangle, \quad \sum_{f(x)=1} \rho_x \cdot |x\rangle \frac{|0\rangle - |1\rangle}{\sqrt{2}} = \sin(\pi/2 - \gamma) |\beta\rangle.$$

Le postulat de la mesure, en mécanique quantique entraîne que :

$$\Pr\left(\bigcup_{f(x)=0} \{\mathcal{M} = \lambda_x\}\right) = \sum_{f(x)=0} \rho_x^2, \quad \Pr\left(\bigcup_{f(x)=1} \{\mathcal{M} = \lambda_x\}\right) = \sum_{f(x)=1} \rho_x^2, \quad \Pr\left(\bigcup_{x \in \mathbb{B}^n} \{\mathcal{M} = \mu_x\}\right) = 0.$$

Donc

$$\begin{aligned} \Pr\left(\bigcup_{f(x)=0} \{\mathcal{M} = \lambda_x\}\right) &= \sum_{f(x)=0} \rho_x^2 \\ &= \|\cos(\pi/2 - \gamma) |\alpha\rangle\|^2 \\ &= \sin^2(\gamma) \\ &\leq 4 \sin^2(\gamma/2) \\ &\leq 4 \frac{M}{N} \\ &\leq 4s \end{aligned}$$

et comme $\Pr(\bigcup_{x \in \mathbb{B}^n} \{\mathcal{M} = \mu_x\}) = 0$, la probabilité de l'événement complémentaire des deux événements ci-dessus est $\geq (1 - 4s)$:

$$\Pr\left(\bigcup_{f(x)=1} \{\mathcal{M} = \lambda_x\}\right) \geq (1 - 4s).$$

10.2 Si on répète r fois l'algorithme, la probabilité d'échouer (i.e. de ne pas obtenir une valeur x telle que $f(x) = 1$) est :

$$p_r \leq (4s)^r$$

donc la probabilité de réussite est

$$1 - p_r \geq 1 - (4s)^r$$

Cette probabilité est supérieure ou égale à $1 - \frac{1}{1000}$ si $(4s)^r \leq \frac{1}{1000}$; donc il suffit que

$$r \geq -3 \frac{\ln(10)}{\ln(4s)}$$

pour $s = 1/100$ on obtient $r = -3 \frac{\ln(10)}{\ln(4 \cdot 10^{-2})}$.

11- Par un raisonnement analogue à celui de la question 10.2 on obtient :

$$r \geq -3 \frac{\ln(10)}{\ln(1-s)}$$

12- 12.1 On suit le même raisonnement qu'à la question 10, en remplaçant le vecteur $|\eta\rangle$ par le vecteur $|\psi\rangle$.

$$|\psi\rangle = \sum_{f(x)=0} \frac{1}{\sqrt{N}} \cdot |x\rangle \frac{|0\rangle - |1\rangle}{\sqrt{2}} + \sum_{f(x)=1} \frac{1}{\sqrt{N}} \cdot |x\rangle \frac{|0\rangle - |1\rangle}{\sqrt{2}} + \sum_{x \in \mathbb{B}^n} 0 \cdot |x\rangle \frac{|0\rangle + |1\rangle}{\sqrt{2}}.$$

Donc

$$\begin{aligned} \Pr\left(\bigcup_{f(x)=0} \{\mathcal{M} = \lambda_x\}\right) &= \sum_{f(x)=0} \frac{1}{N} \\ &= \frac{N - M}{N} \\ &\leq 1 - s. \end{aligned}$$

12.2 Si on répète r fois l'algorithme, la probabilité d'échouer (i.e. de ne pas obtenir une valeur x telle que $f(x) = 1$ est :

$$p_r \leq (1 - s)^r$$

On obtient une probabilité de réussite supérieure ou égale à $1 - \frac{1}{1000}$ lorsque $(1 - s)^r \leq \frac{1}{1000}$; donc il suffit que

$$r \geq -3 \frac{\ln(10)}{\ln(1 - s)}$$

pour $s = 1/100$ on obtient $r = -3 \frac{\ln(10)}{\ln(1 - 10^{-2})}$.

Remarque finale : Aussi bien dans le cas 1, que dans le cas 2, le nombre de répétitions de l'algorithme est constant. L'algorithme complet a donc la même complexité que la version de base de l'algorithme de Grover i.e. $O(\sqrt{N})$.